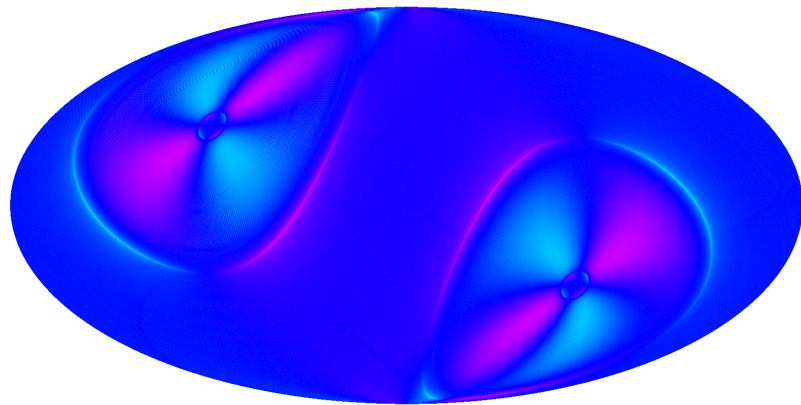
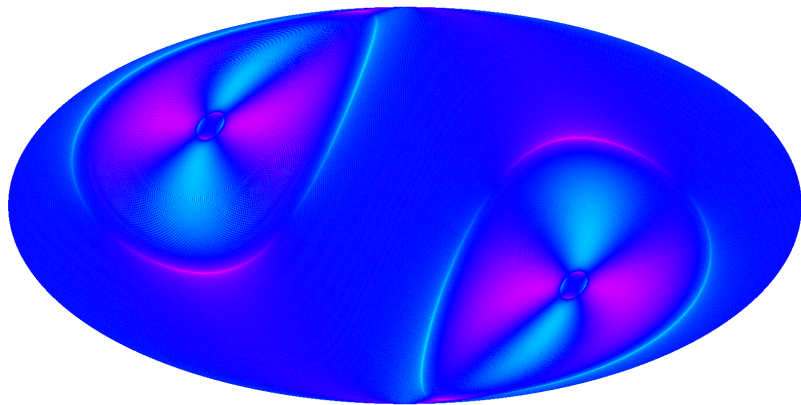


$\langle \cos(2\psi) \rangle$, ψ w.r.t. NGP; det_ang=45deg



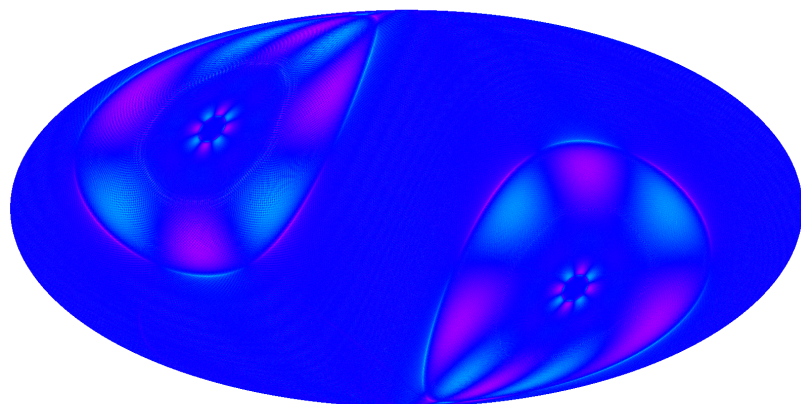
-1.0 1.0

$\langle \sin(2\psi) \rangle$, ψ w.r.t. NGP; det_ang=45deg



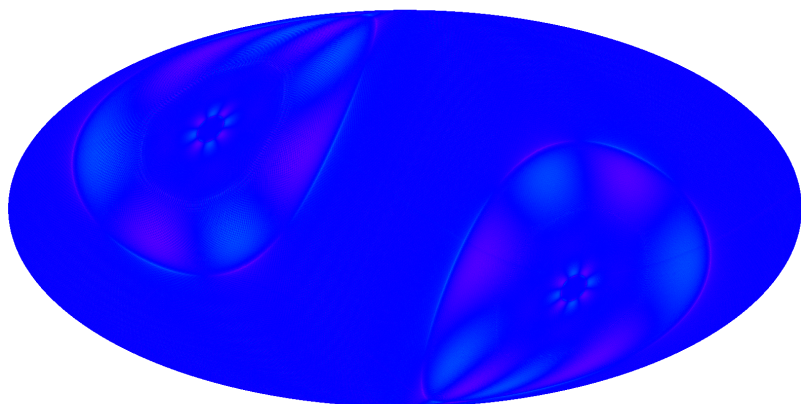
-1.0 1.0

$\langle \cos^2(2\psi) \rangle$, ψ w.r.t. NGP; det_ang=45deg



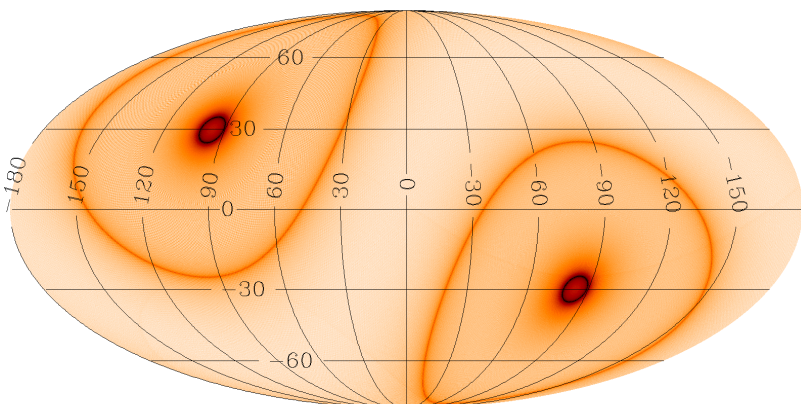
0.0 1.0

$\langle \sin(2\psi)\cos(2\psi) \rangle$, ψ w.r.t. NGP; det_ang=45deg



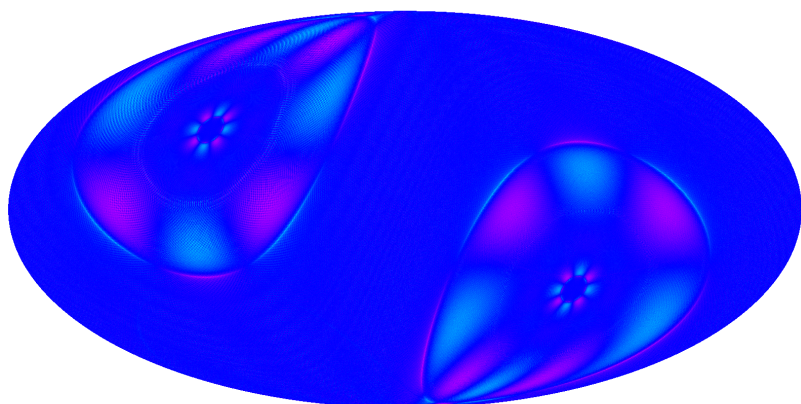
-1.0 1.0

N_{obs} ; $\alpha=30\text{deg}$, $T_{\text{spin}}=121\text{sec}$, $\beta=65\text{deg}$, $T_{\text{prec}}=11.751\text{hrs}$



420 3047

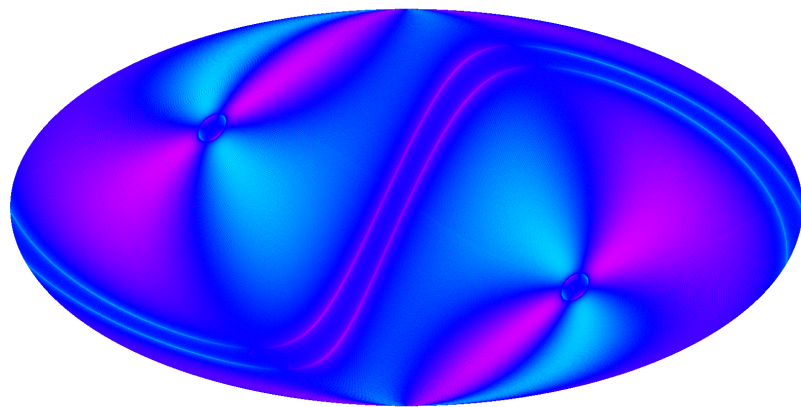
$\langle \sin^2(2\psi) \rangle$, ψ w.r.t. NGP; det_ang=45deg



0.0 1.0

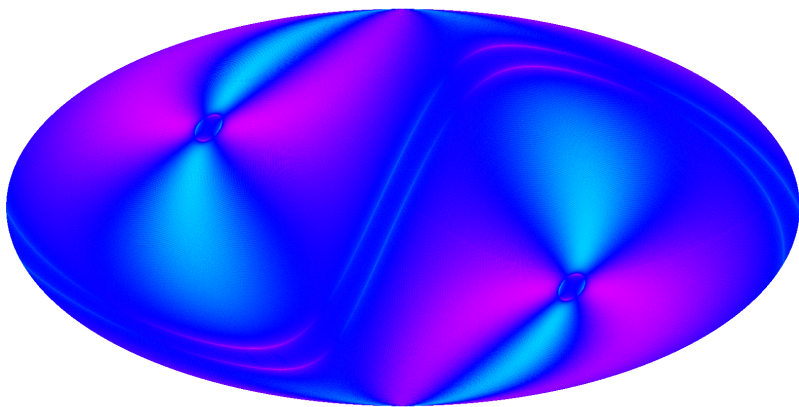
Figure 1

$\langle \cos(2\psi) \rangle$, ψ w.r.t. NGP; det_ang=45deg



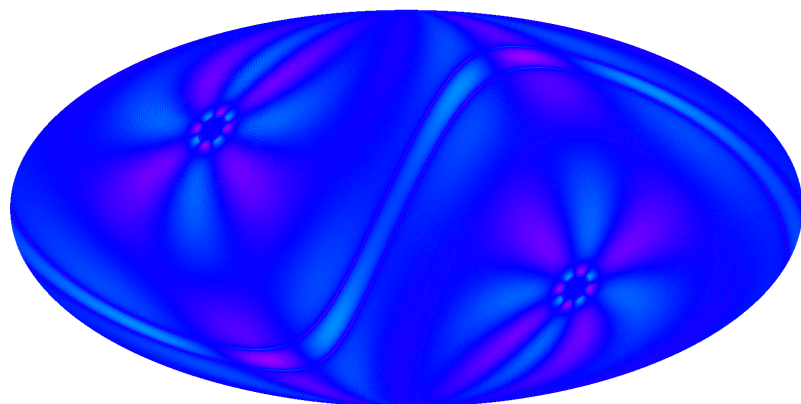
-1.0 1.0

$\langle \sin(2\psi) \rangle$, ψ w.r.t. NGP; det_ang=45deg



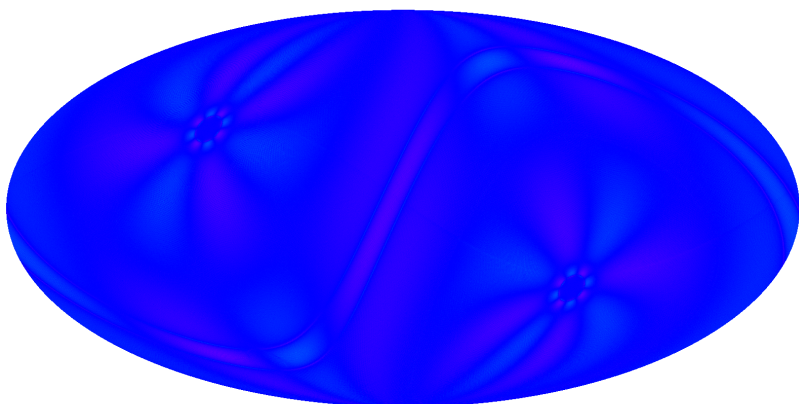
-1.0 1.0

$\langle \cos^2(2\psi) \rangle$, ψ w.r.t. NGP; det_ang=45deg



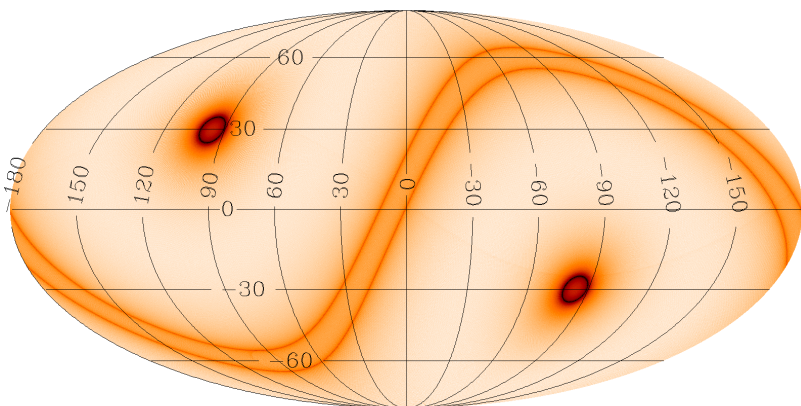
0.0 1.0

$\langle \sin(2\psi) \cos(2\psi) \rangle$, ψ w.r.t. NGP; det_ang=45deg



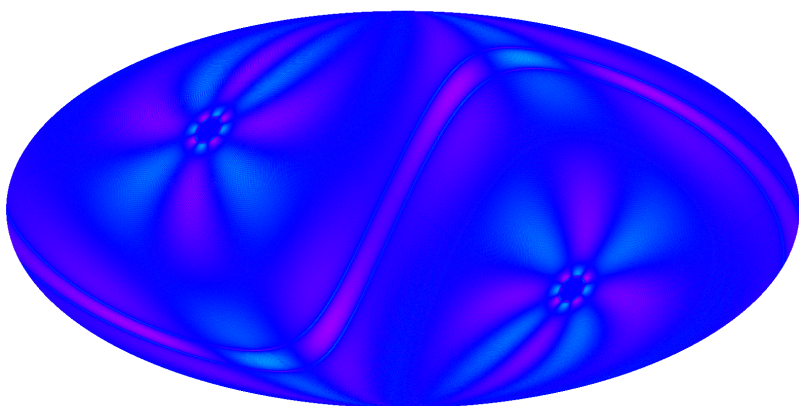
-1.0 1.0

N_{obs} ; $\alpha=50\text{deg}$, $T_{\text{spin}}=121\text{sec}$, $\beta=45\text{deg}$, $T_{\text{prec}}=11.751\text{hrs}$



501 2782

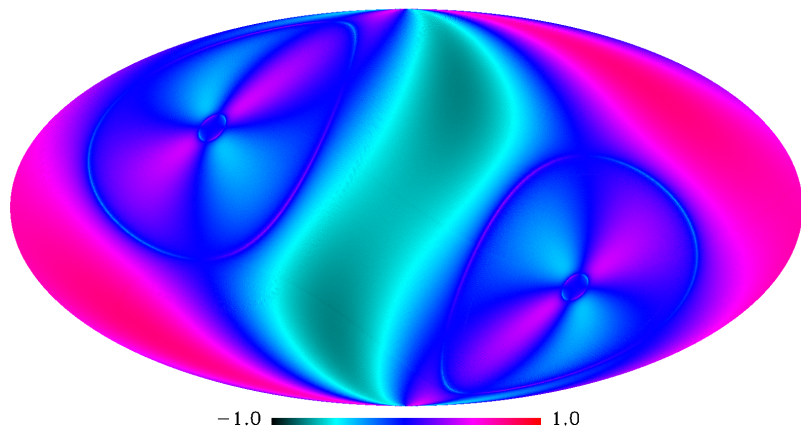
$\langle \sin^2(2\psi) \rangle$, ψ w.r.t. NGP; det_ang=45deg



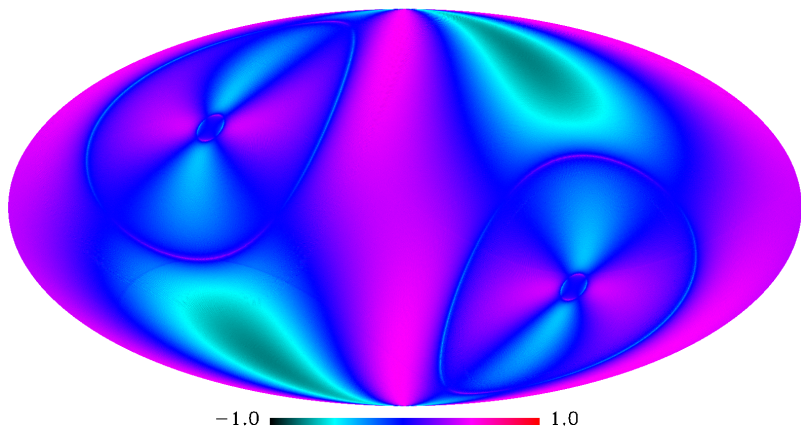
0.0 1.0

Figure 2

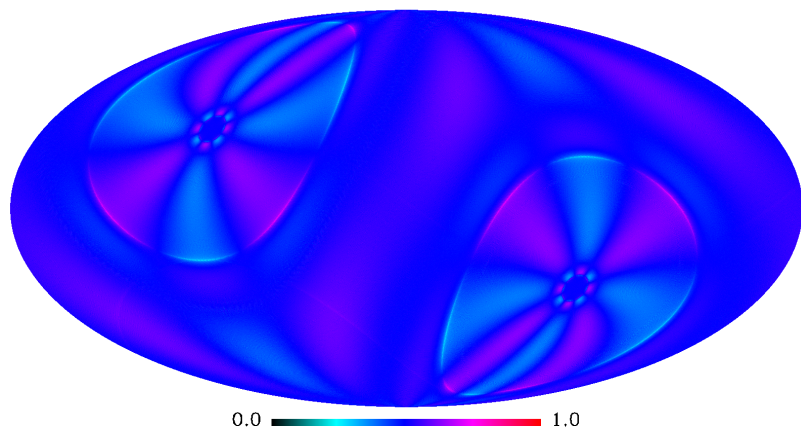
$\langle \cos(2\psi) \rangle$, ψ w.r.t. NGP; det_ang=45deg



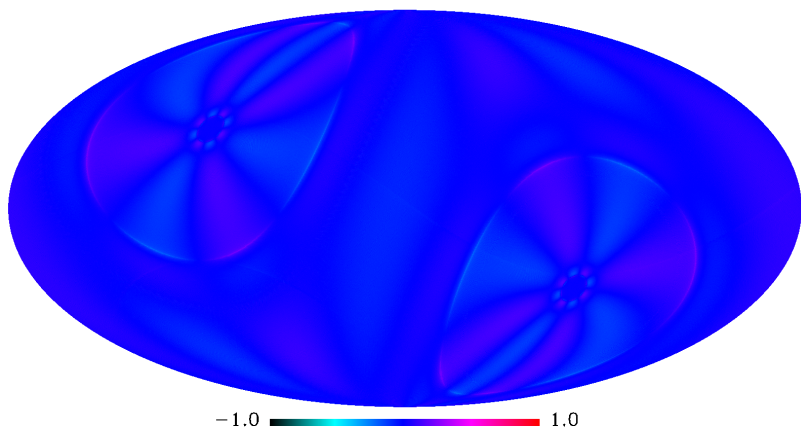
$\langle \sin(2\psi) \rangle$, ψ w.r.t. NGP; det_ang=45deg



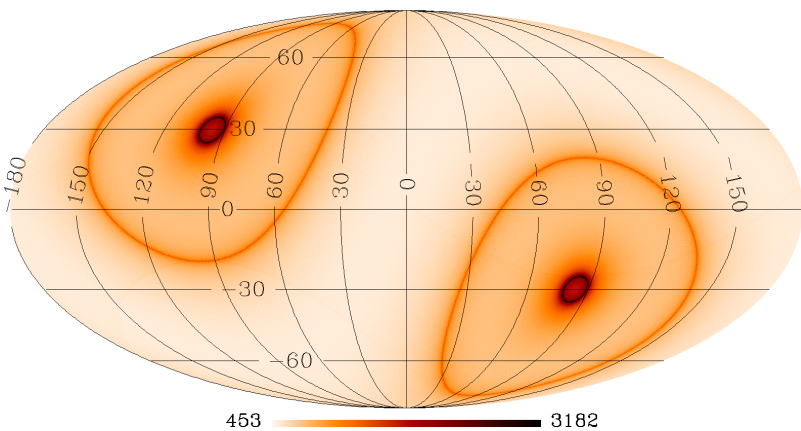
$\langle \cos^2(2\psi) \rangle$, ψ w.r.t. NGP; det_ang=45deg



$\langle \sin(2\psi)\cos(2\psi) \rangle$, ψ w.r.t. NGP; det_ang=45deg



N_{obs} ; $\alpha=68\text{deg}$, $T_{\text{spin}}=121\text{sec}$, $\beta=27\text{deg}$, $T_{\text{prec}}=11.751\text{hrs}$



$\langle \sin^2(2\psi) \rangle$, ψ w.r.t. NGP; det_ang=45deg

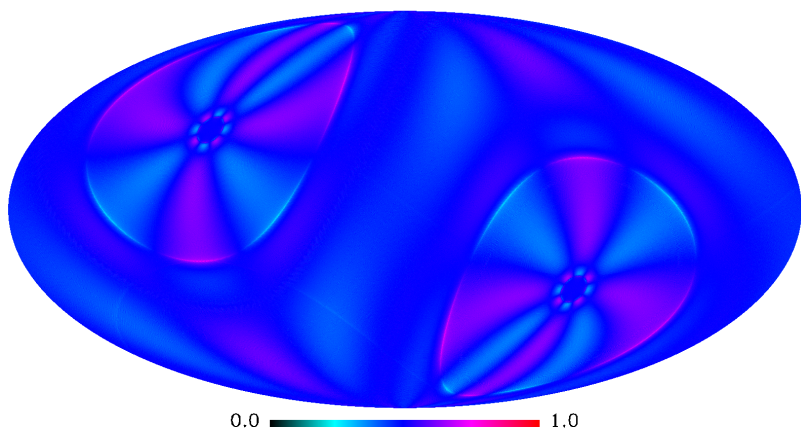
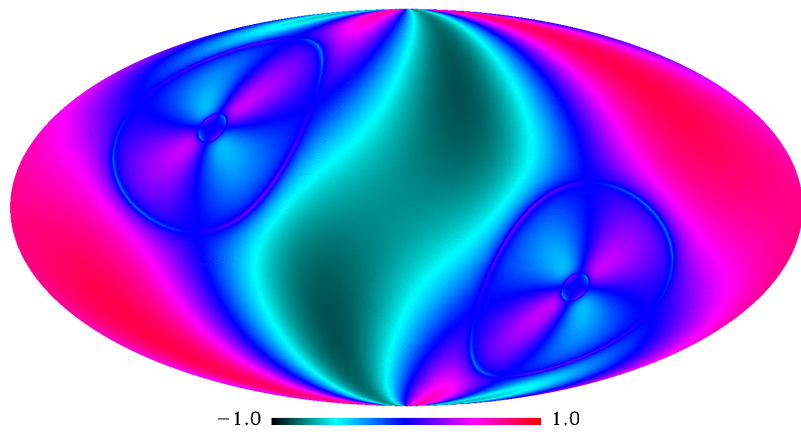
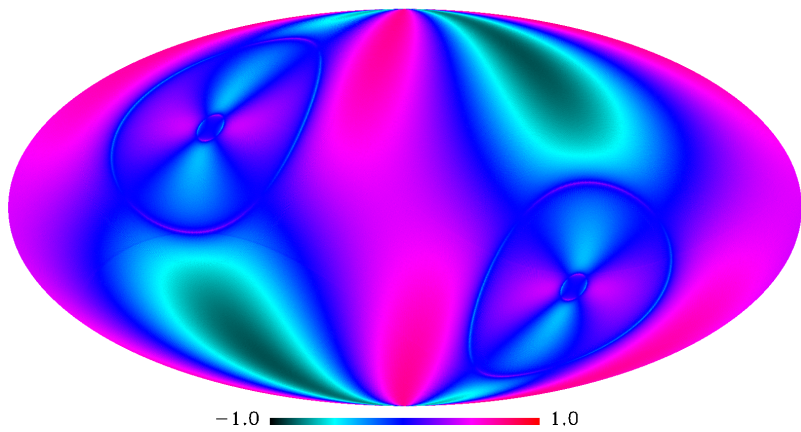


Figure 3

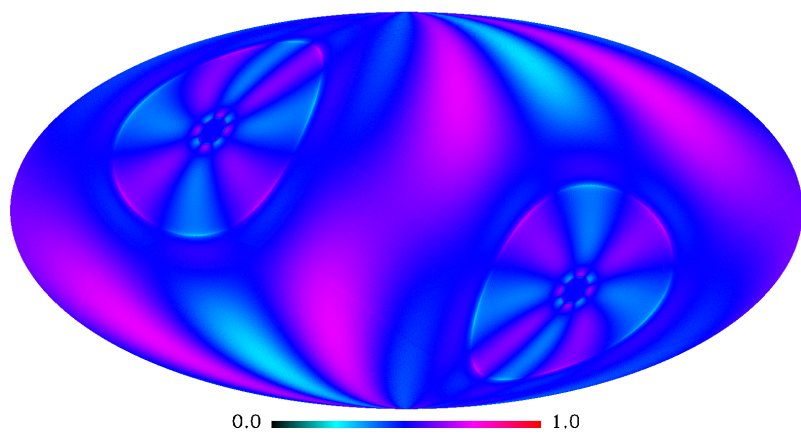
$\langle \cos(2\psi) \rangle$, ψ w.r.t. NGP; det_ang=45deg



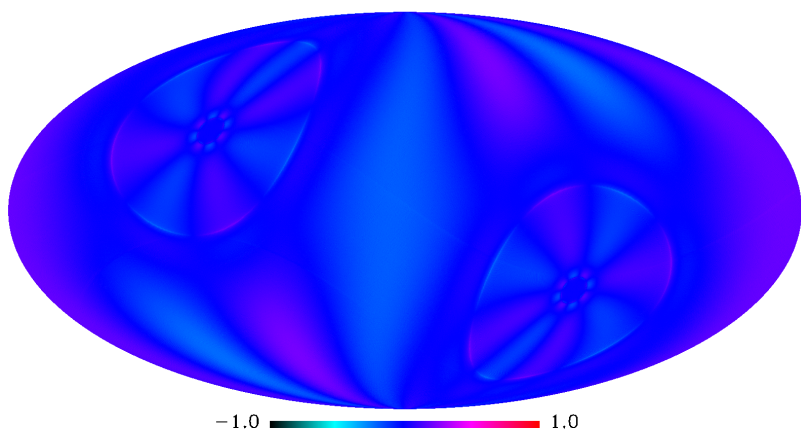
$\langle \sin(2\psi) \rangle$, ψ w.r.t. NGP; det_ang=45deg



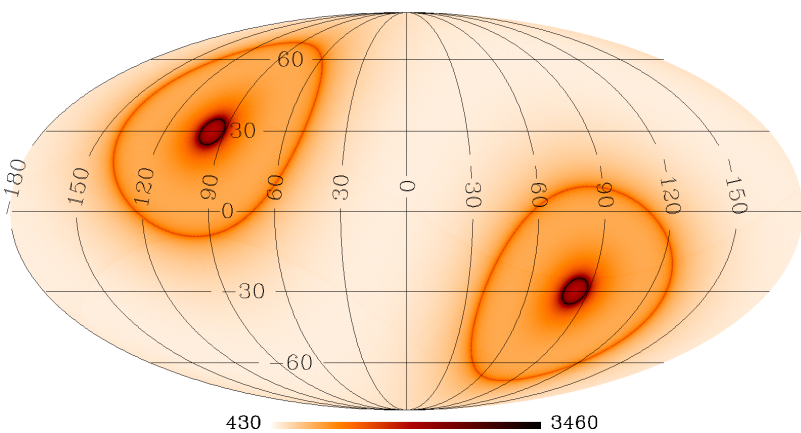
$\langle \cos^2(2\psi) \rangle$, ψ w.r.t. NGP; det_ang=45deg



$\langle \sin(2\psi) \cos(2\psi) \rangle$, ψ w.r.t. NGP; det_ang=45deg



N_{obs} ; $\alpha=73\text{deg}$, $T_{\text{spin}}=121\text{sec}$, $\beta=22\text{deg}$, $T_{\text{prec}}=11.751\text{hrs}$



$\langle \sin^2(2\psi) \rangle$, ψ w.r.t. NGP; det_ang=45deg

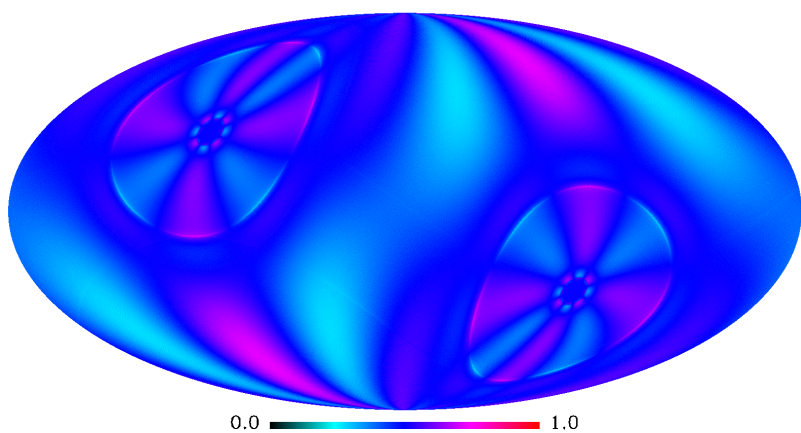
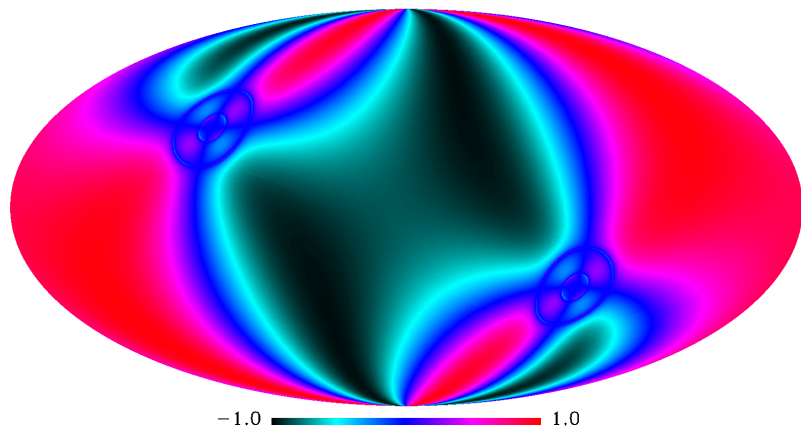
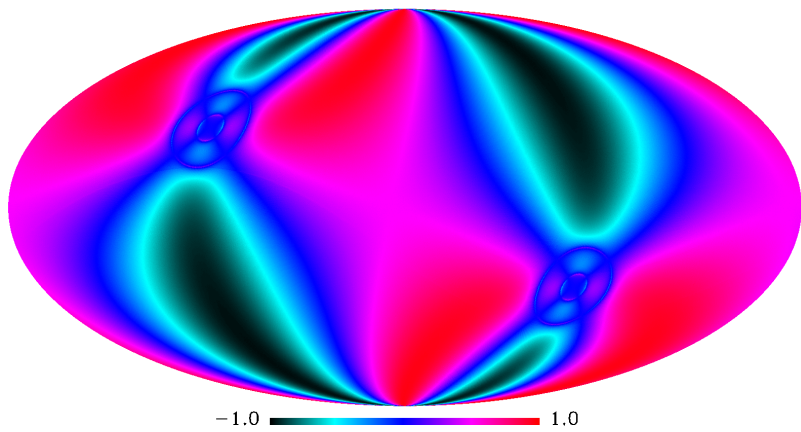


Figure 4

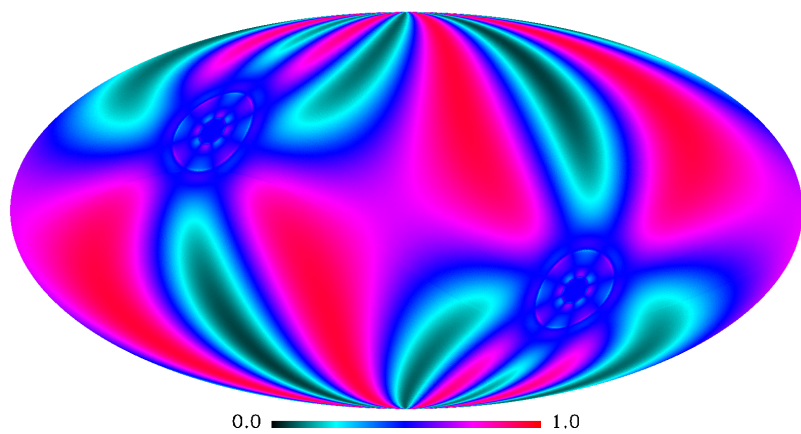
$\langle \cos(2\psi) \rangle$, ψ w.r.t. NGP; det_ang=45deg



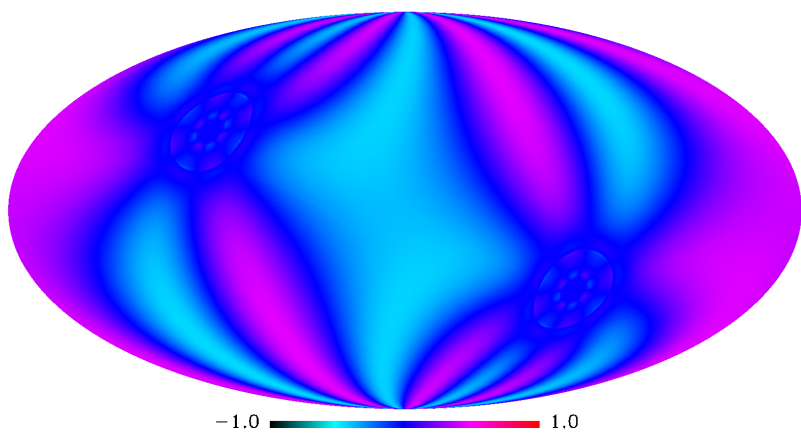
$\langle \sin(2\psi) \rangle$, ψ w.r.t. NGP; det_ang=45deg



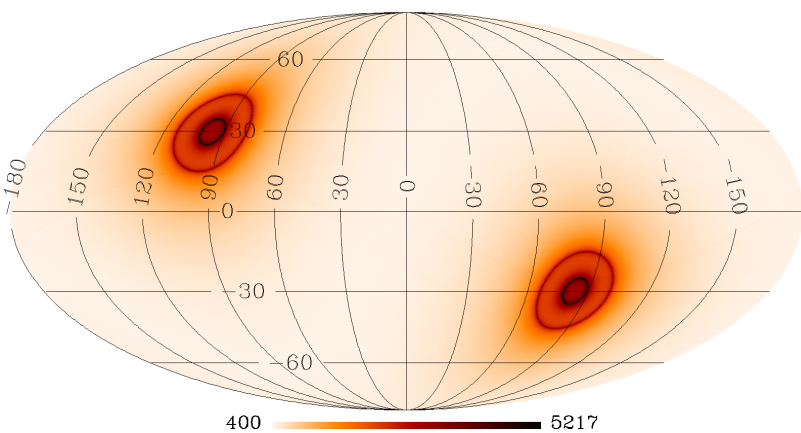
$\langle \cos^2(2\psi) \rangle$, ψ w.r.t. NGP; det_ang=45deg



$\langle \sin(2\psi) \cos(2\psi) \rangle$, ψ w.r.t. NGP; det_ang=45deg



N_{obs} ; $\alpha=85\text{deg}$, $T_{\text{spin}}=121\text{sec}$, $\beta=10\text{deg}$, $T_{\text{prec}}=11.751\text{hrs}$



$\langle \sin^2(2\psi) \rangle$, ψ w.r.t. NGP; det_ang=45deg

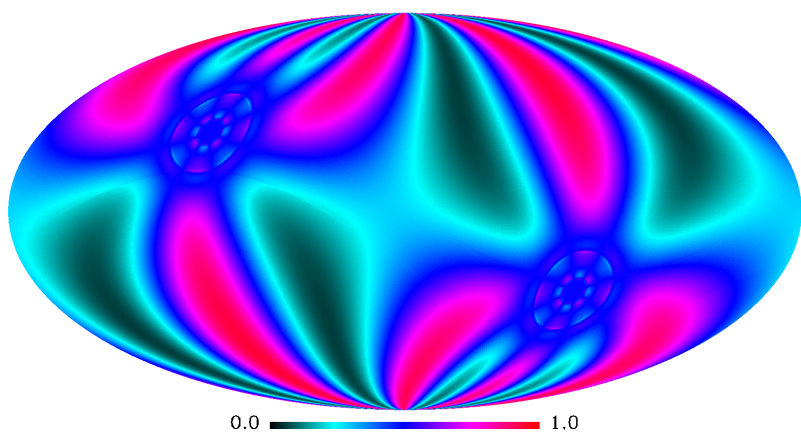


Figure 5